



Universidade do Minho
Escola de Engenharia
Licenciatura em Engenharia Informática

Investigação Operacional

Ano Letivo de 2024/2025

Trabalho Prático 1

João Delgado A106836	Tomás Machado A104186	Hugo Rauber A104534	Simão Mendes A106928	Nelson Rocha A106884
--------------------------------	---------------------------------	-------------------------------	--------------------------------	--------------------------------

Março, 2025

Índice

1. Introdução	1
1.1. Descrição	1
1.2. Motivação:	1
2. Desenvolvimento	2
2.0. Questão Zero	2
2.1. Questão Um	3
2.2. Questão Dois	7
2.3. Questão Três	9
2.4. Questão Quatro	10
2.5. Questão Cinco	11
2.6. Questão Seis	13
2.6.1. Testes de Correção do Modelo	13
2.6.2. Validação Computacional	13
3. Conclusão	14
4. Bibliografia	15

Lista de Figuras

Figura 1 Captura de Ecrã do Ficheiro de Input do Modelo no LPSolve.	9
Figura 2 Captura de Ecrã do Output da Execução do Modelo no LPSolve.	10
Figura 3 Grafo Subjacente ao Modelo de Fluxos em Arcos (Solução óptima).	11
Figura 4 Possível plano de empacotamento ótimo.	12

Lista de Tabelas

Tabela 1 Contentores disponíveis.	2
Tabela 2 Itens a empacotar.	2

1. Introdução

1.1. Descrição

Este projeto é uma componente fundamental da disciplina de Investigação Operacional do ano académico 2024/2025. A unidade curricular tem como objetivo principal introduzir aos alunos os conceitos essenciais da otimização, proporcionando uma base sólida que permita compreender e aplicar técnicas de otimização em diversos contextos. Além disso, a disciplina promove o desenvolvimento de habilidades analíticas, que são cruciais para a resolução eficaz de problemas complexos que podem surgir em situações do mundo real.

1.2. Motivação:

Através deste projeto, o nosso grupo tem como meta aprofundar o conhecimento na resolução de problemas práticos, com especial ênfase no problema de empacotamento. Este tipo de problema é relevante em várias áreas, como logística, gestão de armazéns e transporte, onde a eficiência no uso do espaço e a minimização de custos são essenciais. Além disso, uma das nossas principais motivações é garantir a aprovação na disciplina, não apenas cumprindo os requisitos, mas também alcançando um desempenho de qualidade que reflita o nosso esforço e dedicação.

2. Desenvolvimento

2.0. Questão Zero

No âmbito deste projeto, o valor de **xABCDE** foi determinado como **106928**. As partições deste número são definidas da seguinte forma: **x=1, A=0, B=6, C=9, D=2 e E=8**. Com base nestes valores, elaboramos duas tabelas que ilustram os resultados obtidos.

A primeira tabela apresenta o número de contentores utilizados e o respetivo comprimento de cada um, enquanto a segunda tabela detalha o número de itens a serem empacotados e o comprimento correspondente de cada item. As tabelas e os cálculos resultantes são apresentados de seguida:

Quantidade	Comprimento
Ilimitada	11
7 (B + 1)	10
3 (D + 1)	7

Tabela 1: Contentores disponíveis.

Quantidade	Comprimento
0 (B é par, logo $k_1 = 0$)	1
17 (C é ímpar, logo $k_2 = C + 2$)	2
0 (D é par, logo $k_3 = 0$)	3
10 (E é par, logo $k_4 = E + 2$)	4
5	5

Tabela 2: Itens a empacotar.

A **soma total dos comprimentos** dos itens a empacotar é $0 \cdot 1 + 17 \cdot 2 + 0 \cdot 3 + 10 \cdot 4 + 5 \cdot 5 = 99$, que obviamente se encontra dentro do limite dos contentores que é ilimitada.

2.1. Questão Um

Neste problema, o objetivo é **minimizar** a quantidade de contentores utilizados para empacotar um conjunto de itens, de forma a reduzir a soma dos comprimentos dos contentores empregados. Para tal, é necessário determinar a quantidade de contentores de cada comprimento a utilizar, respeitando a disponibilidade de contentores existentes e a demanda dos itens.

Definem-se os seguintes conceitos:

Parâmetros:

- W_k = Diferentes capacidades de cada classe de contentor.
- B_k = Número de Contentores disponível em cada classe.
- w_i = Diferentes tamanhos de cada tipo de item.
- b_i = Número de itens para empacotar dentro de cada tipo.

Variáveis:

- z_k = Número de contentores de capacidade W_k utilizados.
- $x_{\{d,e\}}$ Número de itens de tamanho $e - d$ colocado em um contentor a d unidades do seu início.

Domínios:

- k representa as classes de diferentes contentores.
- i representa os diferentes tipos de itens disponíveis.
- A representa todos os arcos possíveis que cumprem as condições $A = \{(d, e) : 0 \leq d < e \leq W_{max} \wedge e - d = w_i \forall 1 \leq i \leq m\}$.
- A' é um subconjunto de A proveniente da utilização de critérios de redução sobre o mesmo. É especificado na subsecção de **Critérios de Redução**.

Deste modo, aplicando a informação discutida anteriormente ao nosso problema obtivemos o seguinte:

- $W_k = \{11, 10, 7\}$, com $W_{max} = W_1 = 11$, $W_2 = 10$ e $W_3 = 7$.
- $B_k = \{\infty, 7, 3\}$, com $B_1 = \infty$, $B_2 = 7$ e $B_3 = 3$.
- $w_i = \{5, 4, 2\}$, com $w_1 = 5$, $w_2 = 4$ e $w_3 = 2$.
- $b_i = \{5, 10, 17\}$, com $b_1 = 5$, $b_2 = 10$, $b_3 = 17$.

Tendo em conta o tamanho dos itens podemos concluir que o conjunto A é:

- $A = \{(0, 2), (0, 4), (0, 5), (1, 3), (1, 5), (1, 6), (2, 4), (2, 6), (2, 7), (3, 5), (3, 7), (3, 8), (4, 6), (4, 8), (4, 9), (5, 7), (5, 9), (5, 10), (6, 8), (6, 10), (6, 11), (7, 9), (7, 11), (8, 10), (9, 11)\}$

É importante mencionar que para um bom funcionamento do modelo tanto os itens como os contentores foram ordenados de forma decrescente pela sua capacidade.

Modelo utilizado:

Para formular o modelo de programação linear (LP) utilizado no decorrer deste trabalho, utilizou-se o **modelo de fluxos em arcos**, designado na literatura anglo-saxônica como *arc-flow model*.

É importante referir que toda a modelação matemática é proveniente dos trabalhos apresentados na **Bibliografia**.

Variáveis de Decisão:

Considere-se as variáveis de decisão x_{de} associada aos arcos dos itens, que correspondem ao número de itens de tamanho $e - d$ inseridos no contentor a distância de d unidades do início do mesmo. Também se deve considerar a variável de decisão z_k , $k = 1, \dots, K$, associada aos arcos que corresponde à quantidade de contentores de capacidade W_k utilizados. Também pode ser vista como um arco do vértice W_k ao vértice 0, tendo a possibilidade de ser denotada por $x_{\{W_k, 0\}}$.

Objetivo:

Minimizar a soma dos comprimentos dos contentores utilizados, garantindo uma escolha eficiente dos contentores a serem utilizados.

Critérios de Redução:

Existem várias soluções alternativas com os mesmos itens em cada contentor. Para reduzir a simetria do espaço de soluções e o tamanho do modelo, podemos considerar apenas um subconjunto de arcos de $A' \in A$. Ao procurar uma solução com itens ordenados em tamanhos decrescentes, os critérios apresentados de seguida podem ser utilizados para limitar o número de arcos considerados.

1. Sejam w_{i_1} e w_{i_2} o tamanho de dois itens tal que $w_{i_1} > w_{i_2}$. O arco w_{i_2} , designado pelos pontos $(d, d + w_{i_2})$ pode apenas ter a sua cauda no ponto d que é cabeça de outro arco de tamanho w_{i_1} , $(d - w_{i_1})$, ou, num outro caso, no início do contentor. De forma simples este critério aponta que se o contentor tiver alguma perda do espaço de utilização, esta apenas ocorrerá no final do mesmo.
2. Todas as variáveis de arco que provoquem $x_{d,d+1}$ podem ser definidas como zero para $d < w_m$. Num contentor, o número de arcos consecutivos correspondentes a um único tamanho de item deve ser menor ou igual ao número de itens desse tamanho.
3. Sejam i_1 e i_2 dois tamanhos de itens, tais que $w_{i_1} > w_{i_2}$. Dado qualquer nó d que seja a cabeça de outro arco de tamanho w_{i_1} ou tal que $d = 0$, os únicos arcos válidos para o tamanho w_{i_2} são aqueles que partem dos nós $d + s \cdot w_{i_2}$, $s = 0, 1, \dots, b_{i_2} - 1$, com a condição de que:

$$d + s \cdot w_{i_2} \leq W_{max},$$

onde b_{i_2} representa a procura (demanda) dos itens de tamanho w_{i_2} .

Com estes critérios de redução podemos obter o subconjunto de arcos:

$$A' = \{(0, 2), (0, 4), (0, 5), (2, 4), (2, 6), (2, 7), (4, 6), (4, 8), (4, 9), (5, 7), (5, 9), (5, 10), (6, 8), (6, 10), (6, 11), (7, 9), (7, 11), (8, 10), (9, 11)\}$$

Função Objetivo:

Este problema é formulado de modo a minimizar a soma das capacidades dos contentores que são necessários para empacotar todos os itens.

$$\text{Minimize } \sum_{k=1}^K W_k \cdot z_k$$

Tendo em conta que: $W_k = \{11, 10, 7\}$, com $W_1 = 11$, $W_2 = 10$ e $W_3 = 7$.

Esta função objetivo pode ser expandida ao caso específico do problema ficando como:

$$\textbf{Minimize } z = 11z_1 + 10z_2 + 7z_3$$

Restrições:

Como definido no artigo *LP models for bin packing and cutting stock problems* [1], as restrições para este modelo podem ser vistas da seguinte forma:

$$\begin{aligned} - \sum_{(d,e) \in A'} x_{de} + \sum_{(e,f) \in A'} x_{ef} &= \begin{cases} \sum_{k=1}^K z_k & \text{if } e = 0, \\ -z_k & \text{for } e = W_k, \quad k = 1, \dots, K, \\ 0 & \text{otherwise,} \end{cases} \\ \sum_{(d,d+w_i) \in A'} x_{d,d+w_i} &\geq b_i, \quad i = 1, \dots, m, \\ z_k &\leq B_k, \quad k = 1, \dots, K, \\ x_{de} &\geq 0 \text{ and integer } \forall (d, e) \in A', \\ z_k &\geq 0 \text{ and integer } k = 1, \dots, K. \end{aligned}$$

A primeira restrição, utilizada para controlo de fluxo, pode ser expandida nos seguintes casos:

Quando $e = 0$:

$$- \sum_{(d,0) \in A'} x_{d0} + \sum_{(0,f) \in A'} x_{0f} = \sum_{k=1}^K z_k \Leftrightarrow x_{05} + x_{04} + x_{02} = z_1 + z_2 + z_3$$

Quando $e = W_k$:

$$\begin{aligned} - \sum_{(d,11) \in A'} x_{d11} + \sum_{(11,f) \in A'} x_{11f} &= -z_1 \Leftrightarrow -x_{611} - x_{711} - x_{911} = -z_1 \\ - \sum_{(d,10) \in A'} x_{d10} + \sum_{(10,f) \in A'} x_{10f} &= -z_2 \Leftrightarrow -x_{510} - x_{610} - x_{810} = -z_2 \\ - \sum_{(d,7) \in A'} x_{d7} + \sum_{(7,f) \in A'} x_{7f} &= -z_3 \Leftrightarrow -x_{27} - x_{57} = -z_3 \end{aligned}$$

Quando $e \in \{2, 4, 5, 6, 8, 9\}$:

$$\begin{aligned} - \sum_{(d,2) \in A'} x_{d2} + \sum_{(2,f) \in A'} x_{2f} &= 0 \Leftrightarrow -x_{02} + x_{24} + x_{26} + x_{27} = 0 \\ - \sum_{(d,4) \in A'} x_{d4} + \sum_{(4,f) \in A'} x_{4f} &= 0 \Leftrightarrow -x_{04} - x_{24} + x_{46} + x_{48} + x_{49} = 0 \\ - \sum_{(d,5) \in A'} x_{d5} + \sum_{(5,f) \in A'} x_{5f} &= 0 \Leftrightarrow -x_{05} + x_{57} + x_{59} + x_{510} = 0 \\ - \sum_{(d,6) \in A'} x_{d6} + \sum_{(6,f) \in A'} x_{6f} &= 0 \Leftrightarrow -x_{26} - x_{46} + x_{68} + x_{610} + x_{611} = 0 \\ - \sum_{(d,8) \in A'} x_{d8} + \sum_{(8,f) \in A'} x_{8f} &= 0 \Leftrightarrow -x_{48} - x_{68} + x_{810} = 0 \\ - \sum_{(d,9) \in A'} x_{d9} + \sum_{(9,f) \in A'} x_{9f} &= 0 \Leftrightarrow -x_{49} - x_{59} - x_{79} + x_{911} = 0 \end{aligned}$$

A segunda restrição pode ser expandida para:

$$\sum_{(d,d+2) \in A'} x_{d,d+2} \geq 17 \Leftrightarrow x_{02} + x_{24} + x_{46} + x_{57} + x_{68} + x_{79} + x_{810} + x_{911} \geq 17$$

$$\sum_{(d,d+4) \in A'} x_{d,d+4} \geq 10 \Leftrightarrow x_{04} + x_{26} + x_{48} + x_{59} + x_{610} + x_{711} \geq 10$$

$$\sum_{(d,d+5) \in A'} x_{d,d+5} \geq 5 \Leftrightarrow x_{05} + x_{27} + x_{49} + x_{510} + x_{611} \geq 5$$

A terceira restrição pode ser expandida como:

$$0 \leq z_1 \leq \infty$$

$$0 \leq z_2 \leq 7$$

$$0 \leq z_3 \leq 3$$

A quarta restrição será:

$$x_{05}, x_{27}, x_{49}, x_{510}, x_{611}, x_{04}, x_{26}, x_{48}, x_{59}, x_{610}, x_{711}, x_{02}, x_{24}, x_{46}, x_{57}, x_{68}, x_{79}, x_{810}, x_{911} \geq 0$$

$$x_{05}, x_{27}, x_{49}, x_{510}, x_{611}, x_{04}, x_{26}, x_{48}, x_{59}, x_{610}, x_{711}, x_{02}, x_{24}, x_{46}, x_{57}, x_{68}, x_{79}, x_{810}, x_{911} \in \mathbb{Z}$$

À semelhança da quarta, a quinta restrição fica:

$$z_1, z_2, z_3 \geq 0$$

$$z_1, z_2, z_3 \in \mathbb{Z}$$

2.2. Questão Dois

Modelo de Programação Linear via Fluxo de Arcos

No **modelo por fluxo de arcos**, cada contentor é representado como um grafo em que os nós correspondem aos níveis de preenchimento (de 0 até à capacidade máxima) e os arcos representam a inserção de itens com determinados comprimentos, de forma que a soma dos comprimentos não ultrapasse a capacidade do contentor. Cada arco possui uma variável de decisão que indica quantas vezes essa transição ocorre, e a formação de um caminho completo do nó 0 ao nó de capacidade máxima corresponde a um empacotamento válido, cujo custo é o associado à utilização do respetivo contentor. A função objetivo consiste em minimizar a quantidade dos contentores empregados, enquanto as restrições garantem a conservação do fluxo nos nós, a satisfação integral da demanda dos itens e o respeito à capacidade/disponibilidade dos contentores.

Função Objetivo:

$$\text{Minimize } z = 11z_1 + 10z_2 + 7z_3$$

Restrições:

- $x_{05} + x_{04} + x_{02} = z_1 + z_2 + z_3;$

- $-x_{611} - x_{711} - x_{911} = -z_1;$
- $-x_{510} - x_{610} - x_{810} = -z_2;$
- $-x_{27} - x_{57} = -z_3;$

- $-x_{02} + x_{24} + x_{26} + x_{27} = 0;$
- $-x_{04} - x_{24} + x_{46} + x_{48} + x_{49} = 0;$
- $-x_{05} + x_{57} + x_{59} + x_{510} = 0;$
- $-x_{26} - x_{46} + x_{68} + x_{610} + x_{611} = 0;$
- $-x_{48} - x_{68} + x_{810} = 0;$
- $-x_{49} - x_{59} - x_{79} + x_{911} = 0;$

- $x_{05} + x_{27} + x_{49} + x_{510} + x_{611} \geq 5;$
- $x_{04} + x_{26} + x_{48} + x_{59} + x_{610} + x_{711} \geq 10;$
- $x_{02} + x_{24} + x_{46} + x_{57} + x_{68} + x_{79} + x_{810} + x_{911} \geq 17;$

- $z_1 \geq 0;$
- $z_2 \leq 7;$
- $z_2 \geq 0;$
- $z_3 \leq 3;$
- $z_3 \geq 0;$

- $x_{05} \geq 0;$
- $x_{27} \geq 0;$
- $x_{49} \geq 0;$
- $x_{510} \geq 0;$
- $x_{611} \geq 0;$
- $x_{04} \geq 0;$

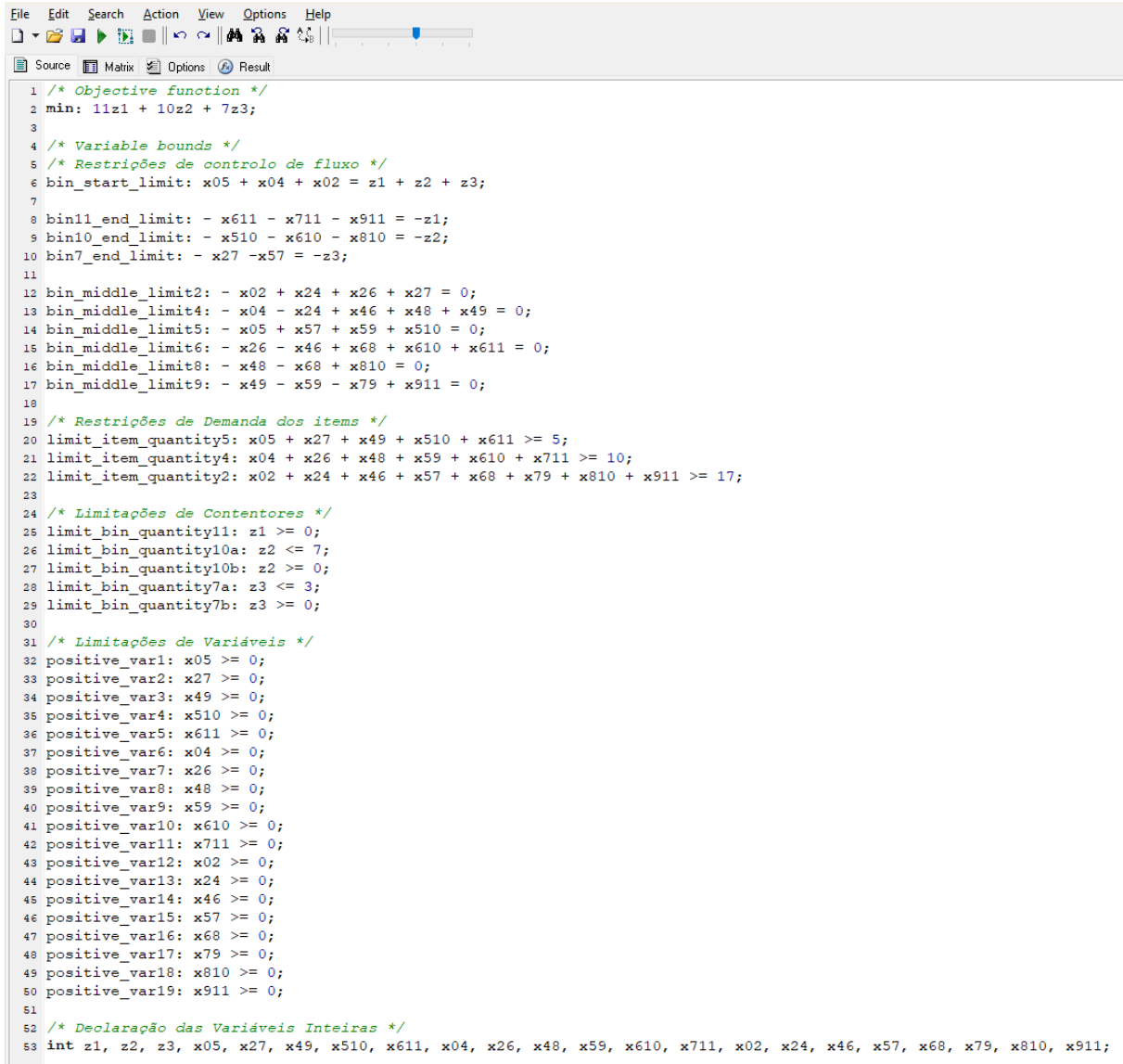
- $x_{26} \geq 0$;
- $x_{48} \geq 0$;
- $x_{59} \geq 0$;
- $x_{610} \geq 0$;
- $x_{711} \geq 0$;
- $x_{02} \geq 0$;
- $x_{24} \geq 0$;
- $x_{46} \geq 0$;
- $x_{57} \geq 0$;
- $x_{68} \geq 0$;
- $x_{79} \geq 0$;
- $x_{810} \geq 0$;
- $x_{911} \geq 0$;

- `int $z_1, z_2, z_3, x_{05}, x_{27}, x_{49}, x_{510}, x_{611}, x_{04}, x_{26}, x_{48}, x_{59}, x_{610}, x_{711}, x_{02}, x_{24}, x_{46}, x_{57}, x_{68}, x_{79}, x_{810}, x_{911}$;`

2.3. Questão Três

Apresentação do Ficheiro de Input

Nesta secção, apresenta-se o ficheiro de *input* utilizado para a implementação do modelo de empacotamento, extraído integralmente através da técnica de *cut-and-paste*. Este ficheiro foi estruturado de forma a conter todas as informações essenciais para a definição dos parâmetros, variáveis e restrições do problema de otimização, fundamentado no **modelo de fluxo de arcos**.



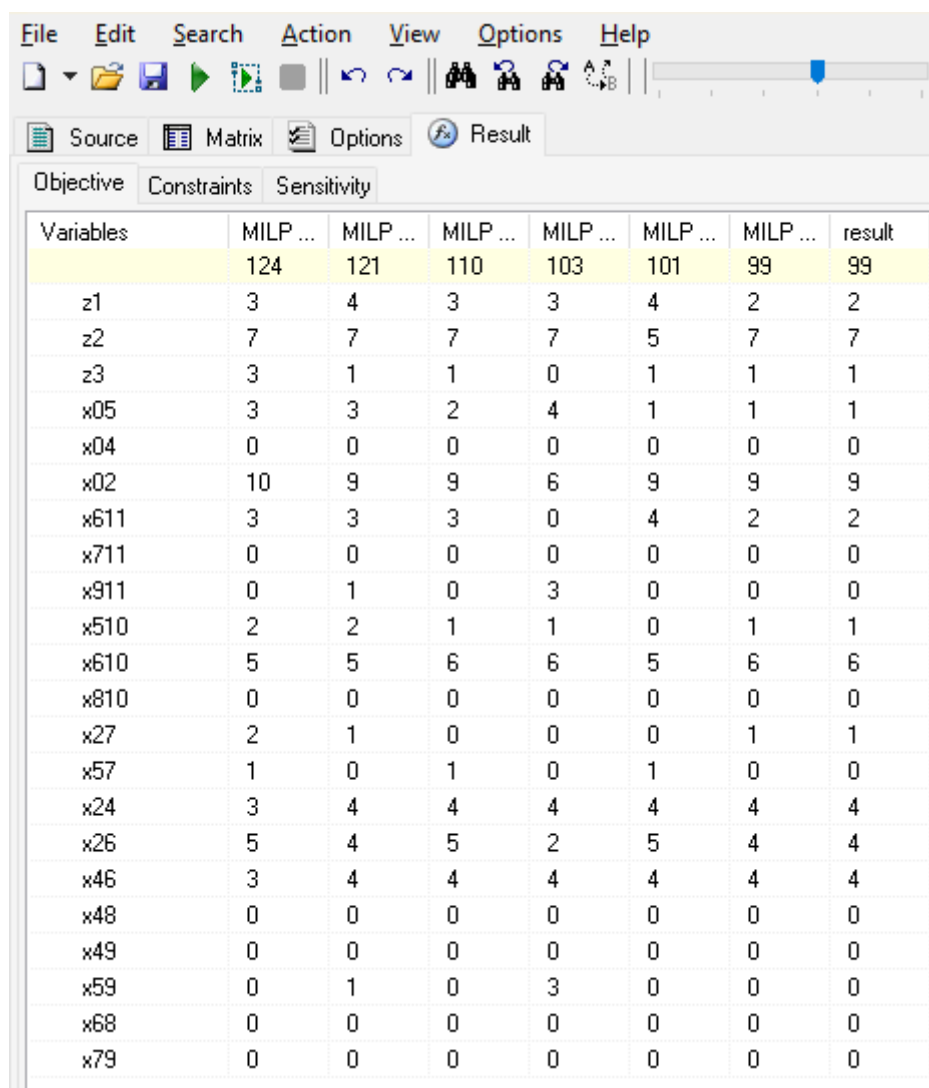
```
1 /* Objective function */
2 min: 11z1 + 10z2 + 7z3;
3
4 /* Variable bounds */
5 /* Restrições de controlo de fluxo */
6 bin_start_limit: x05 + x04 + x02 = z1 + z2 + z3;
7
8 bin11_end_limit: - x611 - x711 - x911 = -z1;
9 bin10_end_limit: - x510 - x610 - x810 = -z2;
10 bin7_end_limit: - x27 -x57 = -z3;
11
12 bin_middle_limit2: - x02 + x24 + x26 + x27 = 0;
13 bin_middle_limit4: - x04 - x24 + x46 + x48 + x49 = 0;
14 bin_middle_limit5: - x05 + x57 + x59 + x510 = 0;
15 bin_middle_limit6: - x26 - x46 + x68 + x610 + x611 = 0;
16 bin_middle_limit8: - x48 - x68 + x810 = 0;
17 bin_middle_limit9: - x49 - x59 - x79 + x911 = 0;
18
19 /* Restrições de Demanda dos itens */
20 limit_item_quantity5: x05 + x27 + x49 + x510 + x611 >= 5;
21 limit_item_quantity4: x04 + x26 + x48 + x59 + x610 + x711 >= 10;
22 limit_item_quantity2: x02 + x24 + x46 + x57 + x68 + x79 + x810 + x911 >= 17;
23
24 /* Limitações de Contentores */
25 limit_bin_quantity11: z1 >= 0;
26 limit_bin_quantity10a: z2 <= 7;
27 limit_bin_quantity10b: z2 >= 0;
28 limit_bin_quantity7a: z3 <= 3;
29 limit_bin_quantity7b: z3 >= 0;
30
31 /* Limitações de Variáveis */
32 positive_var1: x05 >= 0;
33 positive_var2: x27 >= 0;
34 positive_var3: x49 >= 0;
35 positive_var4: x510 >= 0;
36 positive_var5: x611 >= 0;
37 positive_var6: x04 >= 0;
38 positive_var7: x26 >= 0;
39 positive_var8: x48 >= 0;
40 positive_var9: x59 >= 0;
41 positive_var10: x610 >= 0;
42 positive_var11: x711 >= 0;
43 positive_var12: x02 >= 0;
44 positive_var13: x24 >= 0;
45 positive_var14: x46 >= 0;
46 positive_var15: x57 >= 0;
47 positive_var16: x68 >= 0;
48 positive_var17: x79 >= 0;
49 positive_var18: x810 >= 0;
50 positive_var19: x911 >= 0;
51
52 /* Declaração das Variáveis Inteiras */
53 int z1, z2, z3, x05, x27, x49, x510, x611, x04, x26, x48, x59, x610, x711, x02, x24, x46, x57, x68, x79, x810, x911;
```

Figura 1: Captura de Ecrã do Ficheiro de Input do Modelo no LPSolve.

2.4. Questão Quatro

Apresentação do Ficheiro de Output

Nesta secção, é apresentado o ficheiro de *output* resultante da execução do programa, obtido através da técnica de *cut-and-paste*. O ficheiro de *output* contém toda a informação relevante que demonstra o desempenho e os resultados obtidos pelo modelo de empacotamento.



Variables	MILP ...	MILP ...	MILP ...	MILP ...	MILP ...	MILP ...	result
	124	121	110	103	101	99	99
z1	3	4	3	3	4	2	2
z2	7	7	7	7	5	7	7
z3	3	1	1	0	1	1	1
x05	3	3	2	4	1	1	1
x04	0	0	0	0	0	0	0
x02	10	9	9	6	9	9	9
x611	3	3	3	0	4	2	2
x711	0	0	0	0	0	0	0
x911	0	1	0	3	0	0	0
x510	2	2	1	1	0	1	1
x610	5	5	6	6	5	6	6
x810	0	0	0	0	0	0	0
x27	2	1	0	0	0	1	1
x57	1	0	1	0	1	0	0
x24	3	4	4	4	4	4	4
x26	5	4	5	2	5	4	4
x46	3	4	4	4	4	4	4
x48	0	0	0	0	0	0	0
x49	0	0	0	0	0	0	0
x59	0	1	0	3	0	0	0
x68	0	0	0	0	0	0	0
x79	0	0	0	0	0	0	0

Figura 2: Captura de Ecrã do Output da Execução do Modelo no LPSolve.

2.5. Questão Cinco

Apresentação da Solução

Esta subsecção do relatório tem como objetivo apresentar a solução ótima para este problema de empacotamento de itens em contentores, abordando três aspectos principais: o valor da solução ótima, a representação do grafo subjacente ao **modelo de fluxos em arcos** e o **plano de empacotamento** dos itens nos contentores utilizados.

(a) - Valor da Solução Ótima:

Será indicado o valor da solução ótima, que corresponde à soma dos comprimentos dos contentores utilizados para acomodar todos os itens. Este valor reflete a eficiência da solução encontrada, minimizando o espaço total ocupado. Assim sendo, como consta na **Secção 2.5**, a solução ótima é: **2** contentores de **tamanho 11**, **7** contentores de **tamanho 10** e **1** contentor de **tamanho 7**.

(b) - Grafo Subjacente ao Modelo de Fluxos em Arcos:

Será apresentado o grafo que serve de base ao modelo de fluxos em arcos, destacando os fluxos não-nulos associados à solução ótima. Esta representação gráfica permite visualizar como os itens são distribuídos entre os contentores, seguindo as restrições e objetivos do problema. Segue-se a imagem do grafo:

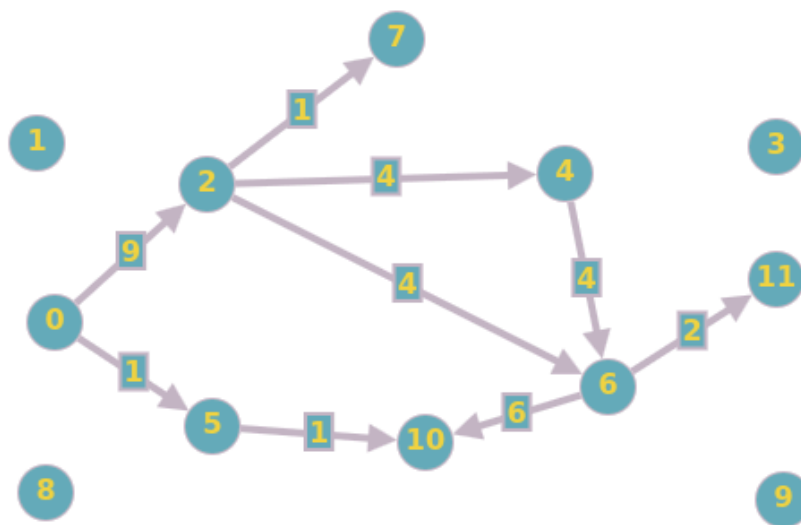


Figura 3: Grafo Subjacente ao Modelo de Fluxos em Arcos (Solução ótima).

(c) - Plano de Empacotamento:

Por fim, será exibido um possível plano de empacotamento ótimo, seguindo o *output* do *LPSolve*. No plano é possível identificar a distribuição ótima dos itens inseridos em cada um dos tipos de contentor. Segue-se a imagem do plano:

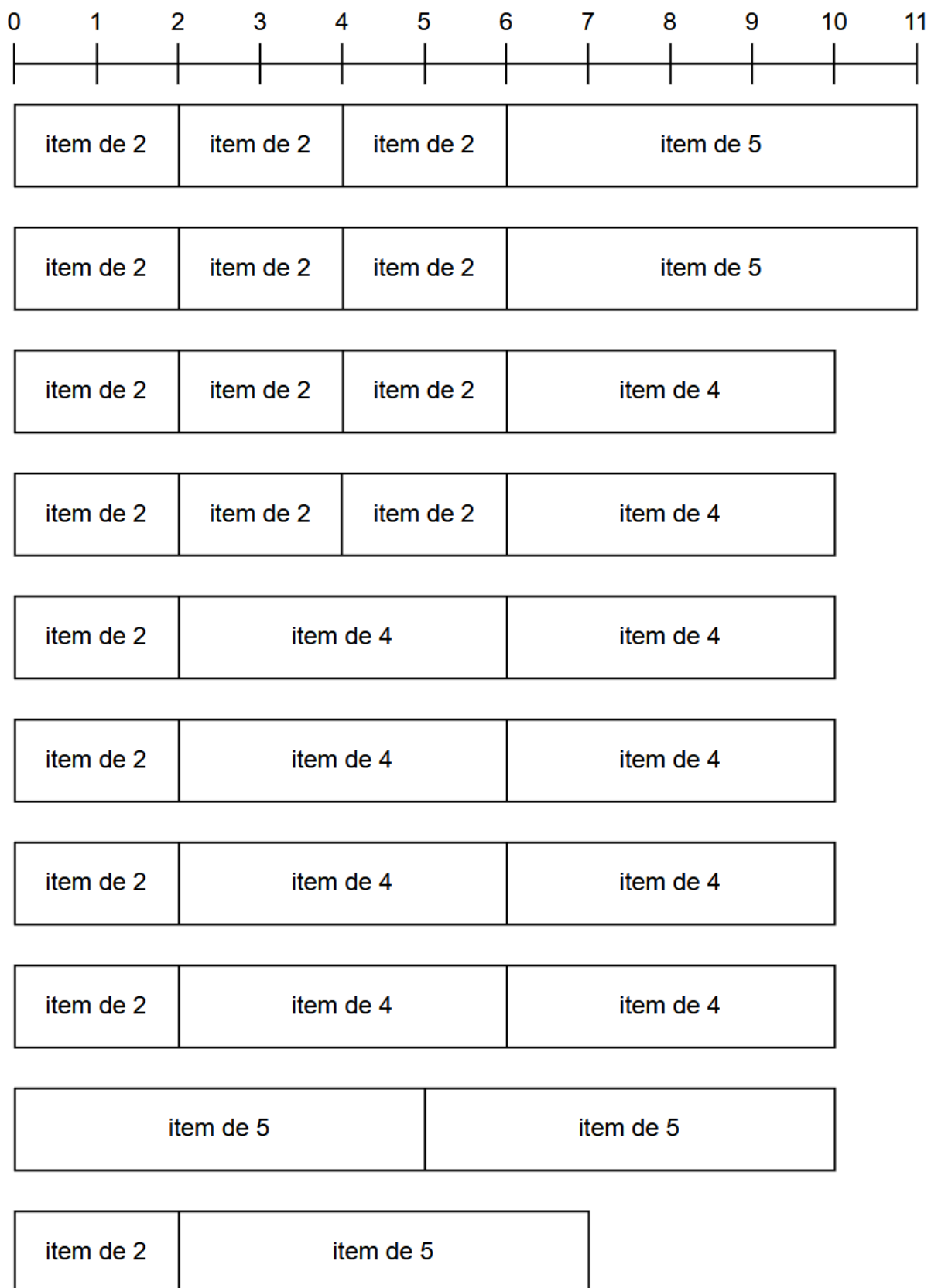


Figura 4: Possível plano de empacotamento ótimo.

2.6. Questão Seis

A validação do modelo é um passo fundamental para garantir que as soluções obtidas são corretas e coerentes com o problema proposto. Para tal, seguimos um conjunto de procedimentos que nos permitiram verificar a validade dos resultados obtidos.

2.6.1. Testes de Correção do Modelo

Para assegurar que a modelação está correta, realizamos os seguintes testes:

- **Verificação das restrições:** Todas as restrições impostas no modelo foram analisadas e comparadas com as definições matemáticas apresentadas no material de referência;
- **Análise da coerência dos resultados:** O resultado obtido foi comparado com soluções intuitivas para confirmar que a distribuição dos itens nos contentores minimizava o custo total.

2.6.2. Validação Computacional

Utilizámos o *LPSolve* para a resolução do modelo, analisando o *output* gerado e verificando que:

- Existe convergência para **soluções viáveis e ótimas** dentro do tempo esperado;
- São respeitadas as **restrições de capacidade** dos contentores;
- O plano de empacotamento respeita a **demand dos itens** solicitados para empacotar;
- A soma dos comprimentos dos contentores (99) é **suficiente para empacotar todos os itens** (soma total do comprimento dos itens: 99);
- A solução ótima está **o mais minimizada possível**, pois é o valor mínimo que pode empacotar toda a demanda de itens. Que neste caso até corresponde ao próprio valor da soma total do comprimento dos itens.

A validação demonstrou que o modelo de fluxos em arcos gerou soluções consistentes com a formulação proposta.

3. Conclusão

Este trabalho permitiu explorar o problema de empacotamento proposto, aplicando técnicas de **programação linear e modelação por fluxos em arcos** para **otimizar** a disposição de itens em contentores com diferentes capacidades.

Durante o desenvolvimento do projeto, foi possível compreender a importância de uma **boa definição do modelo matemático e das suas restrições para a obtenção de soluções eficientes**. A implementação no *LPSolve* permitiu **validar o modelo** e garantir que os resultados obtidos **minimizavam a soma dos comprimentos dos contentores utilizados**, respeitando todas as condições do problema.

Trabalhos futuros poderão explorar melhorias na **eficiência computacional e na adaptação do modelo para problemas similares em aplicações reais**, como gestão de armazéns e logística.

Em suma, o projeto proporcionou uma **experiência valiosa na aplicação de técnicas de otimização linear**, fortalecendo o entendimento sobre a utilização de modelos matemáticos para resolver problemas práticos de engenharia.

4. Bibliografia

- [1] J. M. Valério de Carvalho, «LP models for bin packing and cutting stock problems», *European Journal of Operational Research*, vol. 141, pp. 253–273, set. 2002.
- [2] J. M. Valério de Carvalho, «Exact solution of bin-packing problems using column generation and branch-and-bound», *Annals of Operations Research*, vol. 86, pp. 629–659, jan. 1999.
- [3] J. M. Valério de Carvalho, «Arc flow formulations based on dynamic programming: Theoretical foundations and applications», *European Journal of Operational Research*, vol. 296, pp. 3–21, jan. 2022.